

大阪産業大学工学部 正員 工藤哲男
 大阪産業大学工学部 正員 金岡正信
 大阪産業大学工学部 正員 幸生正己

1. まえがき

自動車走行による沿道地盤の振動は、車輪の構造形式、重量、路面の状態、走行速度、道路構造からび地盤の種類などから関係する。特に道路掘削補修後の凹凸路面や路面沈下によるマンホールの突起等と車輪が通過する際の衝撃的な路面圧力が道路交通振動発生源となることが多い。今回の実験は3車種をもちい凹凸路面(Hump)の通過時の地盤振動を測定し、路面圧力との関係を調べた。

2. 計算方法

自動車は非常に複雑な振動系であるが、ここでは車輪の振動系を図-1に示すように簡単化したモデルとした。その運動方程式は、すでに報告したが路面圧力(P)の算出式はつきの通りとなる。

$$P = W_1 + W_2 + \frac{W_1}{g} \cdot \frac{4\pi^2 h}{2r_2^2} - \frac{kh}{2(r_2^2 - h^2)} (\cos \frac{r_2}{r_1} 2\pi - 1)$$

ただし、 $r_1 = 2\pi\sqrt{\frac{W_2}{kg}}$, $r_2 = \lambda/v$ v : 走行速度

実験に使用した車の各係数は表-1に、Humpの寸法は表-2に示した。

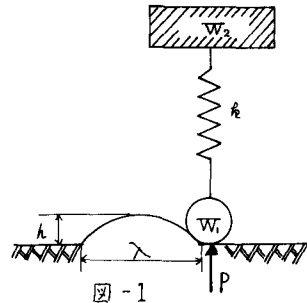


図-1

3. 測定方法

振動測定は走行路線に直角方向に一本の測線を設け、路端より3~9mごとに各距離に動態輪型振動計(固有振動数1%)6ヶを設置し、電磁オシログラフ(ガルバノメーター固有振動数10%)に記録することにより測定した。走行路面は20cmの碎石基層上に厚さ5cmのアスファルト舗装である。

a) 周期について；周期は車輪がHumpを通過したときの最大振幅を示す値をとった。図-2は周期と走行速度との関係を示した。トラックについては走行速度が増すと周期はやや短かくなる傾向を示し、車輪構造の異なるダンプトラックは周期の変化はみられない。図-3は周期とHump長さとの関係を示した。Hump長さの変化による周期の変化はほとんどない。この実験結果では路面形状の周期にちよばず影響ではなく車輪構造による周期の変化がみられた。

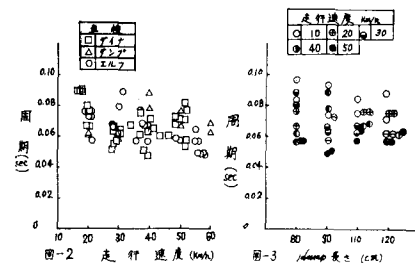
b) 振動速度について；この測定での振動成分は上下動が水平運動に比べてはるかに大きいので上下動のみについて述べる。図-4,

5は走行速度と走行時の最大振動速度の関係を示したものである。

この図より振動速度は走行速度を増すと直線的に増大し、この直線の傾きをBとする。Bは、Hump長さによる変化は少しく、車種のバネ定数kによって若干変化する。積載荷重が大きくなるとBは減少する傾向がみられる。そこで、走行速度と傾きBの関係を $v = 10^{VB+b}$ 式で示すとBは0.012~0.019範囲となつた。バネ定数kとBの関係を表-3に示した。Bはバネ定数が大きくなると大きくなる。図-6は振動速度と振動距離との関係を示した。この図より振動速度

表-1						
車種	車輪	kg	k_{r1}	kg	k_{r2}	kg
ダイナ	前輪	48	88.2	442.1	661.8	774.3
ダイナ	後輪	71	173.8	471.2	1166.2	2018.7
エルフ	前輪	99	88.2	829.3	889.3	
エルフ	後輪	388	173.8	588.7	1628.7	
ダンプ	前輪	87	88.2	594.3		
ダンプ	後輪	135	173.8	423.2		

表-2	
長さ	高さ
80cm	$h = 2, 3, 4$ cm
90cm	$h = 2, 3, 4$ cm
110cm	$h = 2, 3, 4$ cm
120cm	$h = 2, 3, 4$ cm



は距離より10~15m付近まで直線的に減衰している。Hump長さの変化による直線の傾きの変化は見られない。車種の変化では、エルフのほうより路端より遠方まで直線的な変化がみられた。距離減衰の式は一般に、 $\alpha = CX^{-n}$ で表される。これは走行速度による影響は少ないので、積載荷重の増大によりれば小さくなる。車種による車のバネ定数には大きいほどそれは増す傾向にある。この実験結果より求められたのは0.5(範囲0.3~0.8)になった。図-7、8は振動速度と路面圧力の関係を示したものである。この図より振動速度と路面圧力は相関性がみられる。そこで前回の報告においては、振動速度と路面圧力の関係を、 $\alpha = AP^{W\alpha}$ なる式で示し、車荷重(W)との関係を求めた。本報告では、 $W\alpha = b$ となる式で、係数A、bを求めて表-3に示した。この表より、 $\alpha = AP^b$ の直線を求めてその相関性を調べるとこの係数Rは0.718~0.933となり、路面圧力と振動速度は直線的な関係が求められると思われる。この図よりバネ定数、Hump長さによる影響は小さいと思われる。積載荷重の変化により、若干Aの値が大きくなると思われる。

4.まとめ

前報告において、周期は走行速度の影響が大きい。振動速度は走行速度とHump高さによる影響が大きく、路面圧力との対応性がみられると報告した。今回はさらに、Hump長さ、車種を変化させとの関連性を検討した結果、(i) 周期については、車両構造の影響が大きい。(ii) 振動速度はHump長さの影響より車のバネ定数、積載荷重による影響が大きい。(iii) 振動速度の距離減衰係数は積載荷重、車のバネ定数による影響が大きい。(iv) 振動速度と路面圧力とは $\alpha = AP^b$ なる相関性がみられることがいえる。今後、地盤条件によって大型車両でさらに検討する必要がある。

〈参考文献〉

- 1) 共生・金剛・工場、自動車の路面圧力と地盤振動について、土木学会年次講演概要集 III-161 1976年10月

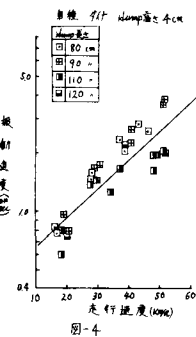
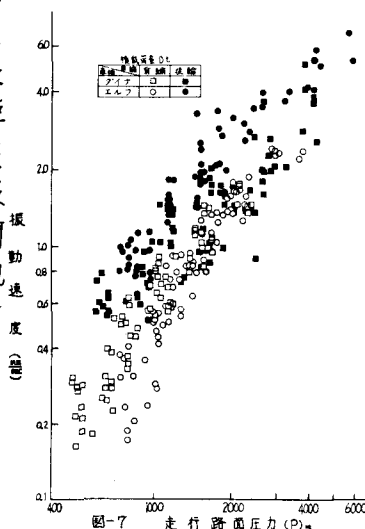
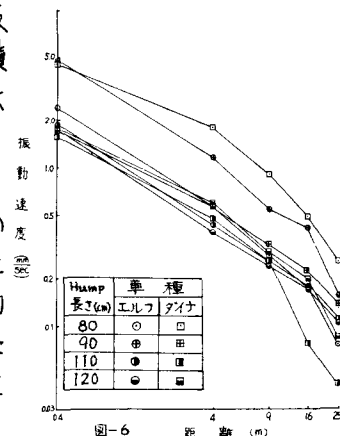


図-4

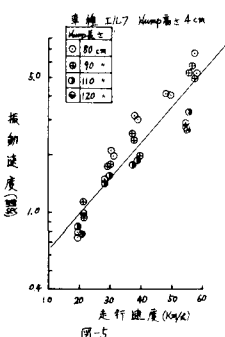


図-5

表-3

台数	車種	前 輮		
		R	A	b
0t	ダイハツ	0.926	1.4371	2.8033×10^{-5}
	エルフ	0.933	1.5545	9.6891×10^{-6}
2t	ダイハツ	0.718	0.9946	4.9749×10^{-4}
	エルフ	0.905	1.8172	1.1697×10^{-6}
4t	ダイハツ	0.925	1.7201	3.3402×10^{-6}
	エルフ			
台数	車種	後 輮		
		R	A	b
0t	ダイハツ	0.890	1.0015	7.5890×10^{-4}
	エルフ	0.902	0.9459	1.7225×10^{-5}
2t	ダイハツ	0.771	1.7359	1.5177×10^{-6}
	エルフ	0.886	0.9156	1.2422×10^{-5}
4t	ダイハツ	0.897	2.6337	1.1627×10^{-6}
	エルフ			